



## مقایسه تئوری عملکرد حرارتی و الکتریکی طرح‌های مختلف کلکتور فتوولتائیک - حرارتی نوع ورق و لوله برای سیال آب

سید امیر بهمنسی، فرزاد جعفر کاظمی\*

دانشکده مکانیک، دانشگاه آزاد اسلامی واحد تهران جنوب، تهران، ایران

### تاریخچه داوری:

دریافت: ۱۳۹۸/۰۸/۱۹

بازنگری: ۱۳۹۸/۰۹/۲۸

پذیرش: ۱۳۹۸/۱۲/۲۰

ارائه آنلاین: ۱۳۹۹/۰۱/۰۳

**خلاصه:** هدف از این مقاله، مقایسه عملکرد الکتریکی و حرارتی طرح‌های مختلفی از کلکتور ترکیبی فتوولتائیک - حرارتی است. مزیت مهم کلکتورهای فتوولتائیک - حرارتی نسبت به مدول‌های فتوولتائیک مرسوم، کاهش دمای مدول و افزایش راندمان تولید الکتریسیته آن است. از طرفی استفاده از این روش منجر به تولید حرارت و الکتریسیته در یک دستگاه و در نتیجه کاهش سطح مورد نیاز برای نصب کلکتور و مدول می‌شود. در تحقیق حاضر راندمان الکتریکی و حرارتی چند طرح متفاوت از یک کلکتور ترکیبی فتوولتائیک - حرارتی که از آب برای خنک کردن آن استفاده شده مورد بررسی قرار گرفته است. به منظور بررسی و تعیین اثرات پارامترهای هندسی بر عملکرد کلکتور فتوولتائیک - حرارتی، مدل‌سازی حرارتی مدول فتوولتائیک و هشت طرح متفاوت از کلکتور ترکیبی فتوولتائیک - حرارتی نوع ورق و لوله با طرح‌های لوله مارپیچی (مقاطع گرد) و لوله موازی (مقاطع گرد، مربعی و مستطیلی) به صورت تئوری و به کمک نرم‌افزار متلب انجام شده است. بر طبق نتایج به دست آمده از این تحقیق، طرح ورق و لوله با مقطع گرد کمترین و مقطع مستطیلی دارای بیشترین راندمان حرارتی و کل است. همچنین وجود پوشش شیشه‌ای سبب کاهش راندمان الکتریکی و افزایش راندمان حرارتی و انرژی حرارتی کل می‌شود.

### کلمات کلیدی:

مدول فتوولتائیک،  
کلکتور خورشیدی،  
کلکتور فتوولتائیک - حرارتی  
راندمان الکتریکی،  
راندمان حرارتی.

است بنابراین عملکرد حرارتی و الکتریکی یک کلکتور پیوستی نوع مایع به طراحی مناسب جاذب بستگی دارد. در شکل ۱ شماتیک مقطع عرضی دو نمونه کلکتور ترکیبی فتوولتائیک - حرارتی با سیال عامل آب نشان داده شده است. شکل بالایی نشان‌دهنده یک نمونه کلکتور ترکیبی فتوولتائیک - حرارتی دارای پوشش شیشه‌ای و شکل پایینی فاقد پوشش است

تاکنون تحقیقات مختلفی برای تحلیل کلکتورهای ترکیبی فتوولتائیک - حرارتی توسط محققان در چند دهه اخیر صورت گرفته است که همگی آن‌ها به برتری کلکتور پیوستی نسبت به مدول فتوولتائیک مجزا اشاره دارد. تریپانانوستوپولوس و همکاران [۲] به این نتیجه رسیدند که استفاده از سیال خنک‌کننده آب بهتر از هوا است همچنین وجود پوشش در جلوی کلکتور مقدار راندمان حرارتی را زیاد می‌کند. هوانگ و همکاران [۳] به بررسی تفاوت راندمان حرارتی کلکتور ترکیبی فتوولتائیک - حرارتی و کلکتور حرارتی پرداختند و به این نتیجه رسیدند که راندمان حرارتی کل سیستم ترکیبی فتوولتائیک - حرارتی نسبت به کلکتور حرارتی خورشیدی بالاتر

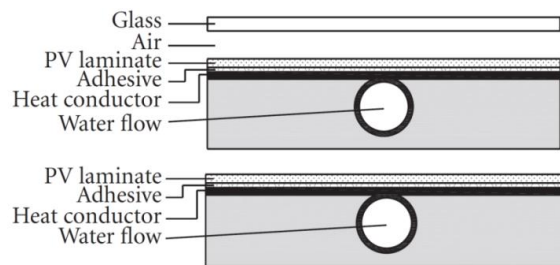
یکی از مشکلات مدول‌های فتوولتائیک افزایش قابل توجه دمای سطح آن‌ها در اثر تابش خورشیدی است. این افزایش دما بسته به نوع مدول، می‌تواند باعث کاهش راندمان تولید الکتریسیته شود. یکی از روش‌های کاهش دمای مدول‌های فتوولتائیک، دفع حرارت از پشت مدول به واسطه یک سیال همچون آب یا هوا است. به وسایلی که بر این مبنای عمل می‌کند کلکتورهای ترکیبی فتوولتائیک - حرارتی (پیوستی) گفته می‌شود. راندمان الکتریکی مدول فتوولتائیک با افزایش دمای سلول‌های خورشیدی در آن‌ها کاهش می‌یابد بنابراین با ایده کلکتور پیوستی، می‌توان این راندمان را به واسطه گردش یک سیال با دمای پایین‌تر بهبود بخشید. معمولاً کلکتور ترکیبی فتوولتائیک - حرارتی با سیال عامل آب از سلول فتوولتائیک سیلیکونی به همراه کلکتور حرارتی (ورق فلزی متصل شده به لوله‌های گردش آب) به منظور جلوگیری از تماس مستقیم سیال با سطح پشت مدول فتوولتائیک ساخته می‌شوند. جاذب (ورق - لوله) به دلیل دفع حرارت از مدول فتوولتائیک به سیال بسیار حائز اهمیت

\*نویسنده عهده‌دار مکاتبات: f\_jafarkazemi@azad.ac.ir



کلکتور حرارتی نوع ورق - لوله و نوع دوم شامل مدول سیلیکونی پلی کریستالی یکپارچه شده با کلکتور حرارتی نوع صفحه موازی را تحت شرایط آب و هوای گرمسیری سنگابور ارزیابی کردند. در آزمایش آنها، راندمان حرارتی و الکتریکی متوسط کلکتور ترکیبی فتوولتائیک - حرارتی نوع اول به ترتیب برابر  $40/7\%$  و  $11/8\%$  و برای نوع دوم برابر  $39/4\%$  و  $11\%$  حاصل شد. همچنین بازده الکتریکی مدول فتوولتائیک نیز در شرایط وجود عدم وجود کلکتور حرارتی مقایسه شد و مشخص گردید که میانگین بازده الکتریکی کلکتور پیویتی حدود  $0/4\%$  بالاتر از مدول فتوولتائیک عادی است. اوساما رجب و همکاران [۱۴] به صورت عددی یک کلکتور پیویتی نوع ورق و لوله را تحلیل کردند و یک مدل ریاضی را برای پیش‌بینی رفتار دینامیکی کلکتور بر اساس تعادل انرژی شش مؤلفه اصلی (پوشش شفاف، مدول فتوولتائیک، جاذب، لوله، سیال و عایق) توسعه دادند که نتایج حاصل توافق خوبی را با مقادیر تجربی نشان می‌داد. جیمز آلن و همکاران [۱۵] دریافتند که کلکتور پیویتی نوع مارپیچی، بالاترین بازده ترکیبی را در مقایسه با سایر نمونه‌ها داراست. ایندرجیت سینگ و همکاران [۱۶] از یک مدل شبیه‌ساز و توسعه یافته ریاضی برای ارزیابی عملکرد کلکتور پیویتی ساخته شده با مدول فیلم نازک و جاذب حلزونی شکل استفاده کردند. و تأثیر پارامترهای مختلف بر راندمان حرارتی و الکتریکی کلکتور پیویتی را به دست آورden. حسین کاظم [۱۷] عملکرد الکتریکی کلکتور پیویتی و مدول فتوولتائیک را تحت تاثیر شرایط محیطی و تابش خورشیدی در طی سه روز آزمایش مقایسه کرد و نشان داد که کلکتور پیویتی عملکرد الکتریکی مناسب‌تری دارد. همچنین توان الکتریکی خروجی مدول پیویتی،  $6\%$  بالاتر از مدول فتوولتائیک مجزا است.

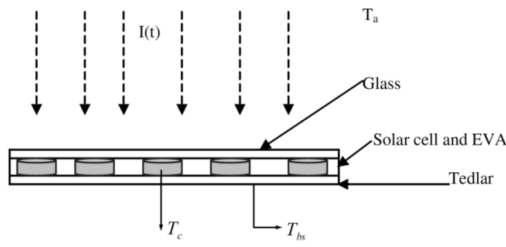
بر طبق بررسی‌های انجام شده تاکنون تحقیقات اندکی در خصوص مقایسه عملکرد حرارتی و الکتریکی طرح‌های متفاوت از کلکتورهای ترکیبی فتوولتائیک - حرارتی نوع ورق - لوله در حالت دارای پوشش (شیشه) و بدون پوشش انجام شده است. در این تحقیق، مدل‌سازی حرارتی مدول فتوولتائیک و  $8$  نمونه متفاوت از کلکتورهای ترکیبی فتوولتائیک - حرارتی پیویتی بدون پوشش و دارای یک پوشش با سیال عامل آب به کمک معادلات تعادل انرژی انجام شده و تأثیر پارامترهای متفاوت هندسی مورد ارزیابی قرار گرفته است. محاسبات تئوری با نرم‌افزار متلب انجام شد. داده‌های آب و هوایی (میزان تابش،



شکل ۱. نمای مقطع عرضی کلکتور پیویتی نوع ورق و لوله پوشش دار و بدون پوشش [۱]

Fig. 1. Cross-section of glazed and unglazed sheet and tube PV/T collector [1]

است. فلوچوتز [۴] تعمیمی از مدل‌های - ویلیر [۵] را برای تحلیل سیستم‌های پیویتی پیشنهاد کرد و در تحقیقات خود به این نتیجه رسید که برای مقاصد عملی، مقادیر به کار رفته در کلکتور فتوولتائیک - حرارتی می‌توانند مشابه همان مقادیر در کلکتورهای حرارتی در نظر گرفته شوند. برگنی و لوویک [۶] مدلی مشابه مدل دافی و بکمن [۷] ارائه دادند که این مدل راندمان کل کلکتور فتوولتائیک - حرارتی را در حدود  $82/62\%$  پیش‌بینی می‌کرد. زندگ و همکاران [۸] مدل‌های یک بعدی، دو بعدی و سه بعدی را برای تحلیل عملکرد کلکتور پیویتی توسعه دادند و نشان دادند که مدل یک بعدی دائمی به خوبی دو مدل دیگر می‌تواند عملکرد کلکتور پیویتی را پیش‌بینی کند. زندگ و همکاران [۹] یک مدل فتوولتائیک معمولی، کلکتور پیویتی بدون پوشش و کلکتور پیویتی پوشش دار را مقایسه کردند. نتایج نشان می‌داد که راندمان الکتریکی متوسط سالیانه به ترتیب برابر  $7/6\%$ ،  $7/2\%$  و  $6\%$  است. تیواری و سودا [۱۰] افزایش  $18\%$  را در بازده کلی سیستم ترکیبی فتوولتائیک - حرارتی مشاهده کردند. آنالیز انرژی و اگرژی کلکتورهای پیویتی دارای پوشش و بدون پوشش، توسط آزمایش چو و همکاران [۱۱] محاسبه کردند که برای دو حالت پوشش دار و بدون پوشش، افزایش راندمان مدول فتوولتائیک و دمای محیط، منجر به افزایش راندمان کلکتور پیویتی در می‌شود. در مقابل، تابش و سرعت باد بالاتر سبب کاهش کلکتور پیویتی می‌شود. همچنین افزایش فاکتور تراکم منجر به افزایش کلکتور پیویتی در حالت بدون پوشش و کاهش کلکتور پیویتی در حالت پوشش دار می‌شود. سرحدی و همکاران [۱۲] راندمان انرژی حرارتی، الکتریکی و کل کلکتورهای پیویتی هوا را به ترتیب برابر  $17/8\%$ ،  $10/01\%$  و  $45\%$  محاسبه کردند. سوپنیل و اندرو [۱۳] دو نمونه مختلف از کلکتور ترکیبی فتوولتائیک - حرارتی که در آن نوع اول شامل مدول سیلیکونی منو کریستالی یکپارچه شده با



شکل ۲. نمای مقطع عرضی مدول فتوولتائیک [۲۰]

Fig. 2. Cross-section of the photovoltaic module [20]

که در آن  $L_T$  ضخامت پوسته محافظ و  $K_T$  هدایت حرارتی پوسته محافظ است.  $U_t$  ضریب کلی انتقال حرارت از سلول خورشیدی به محیط از طریق شیشه فتوولتائیک است [۱۹]:

$$U_t = \left[ \frac{L_G}{K_G} + \frac{1}{h_i + h_r} \right]^{-1} \quad (3)$$

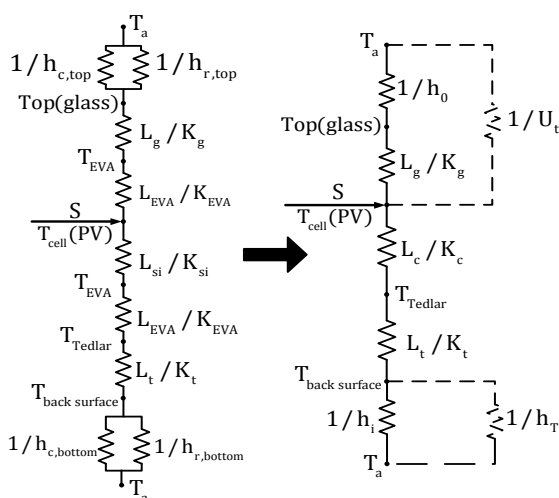
و در آن  $L_G$  و  $K_G$  به ترتیب ضخامت و هدایت حرارتی شیشه پیوی هستند.  $h_i$  و  $h_r$  به ترتیب ضریب انتقال حرارت جابجایی و تشعشع بین آسمان و سلول خورشیدی می‌باشند که برابر با [۱۲]:

$$h_i = 2.8 + 3.0 V_w \quad (4)$$

$$h_r = \varepsilon_G \sigma (T_{sky}^2 + T_c^2) (T_{sky}^2 + T_c^2) \quad (5)$$

که  $V_w$  سرعت جریان باد روی سطح کلکتور پیوی تی،  $\varepsilon_G$  ضریب نشر کلکتور پیوی تی و  $T_{sky}$  دمای آسمان می‌باشد همچنانین به جای عبارت  $h_i + h_r$  می‌توان از رابطه (۶) استفاده نمود [۱۹]:

$$h_o = 5.7 + 3.8 V_w \quad (6)$$



شکل ۳. شبکه دمایی برای یک مدول خورشیدی به صورت عبارت‌هایی از مقاومت‌های هدایت، جابجایی و تشعشع [۲۰]

Fig. 3. Thermal network for a solar PV module in terms of conduction, convection and radiation resistances [20]

دمای هوای سرعت باد)، دمای آب ورودی و پارامترهای فیزیکی (جنس و ضخامت سلول، پوسته محافظ، پوشش شیشه‌ای، عایق پشتی، جاذب ورق و لوله و ...) به عنوان ورودی نرم‌افزار هستند و بازده حرارتی، الکتریکی و کل به عنوان خروجی محاسبه می‌شوند.

## ۲- مدل‌سازی حرارتی

به منظور نوشتمن معادله تعادل انرژی برای هر جزء کلکتور ترکیبی فتوولتائیک - حرارتی فرضیات زیر در نظر گرفته می‌شود:

الف- انتقال حرارت یک بعدی فرض می‌شود.

ب- سیستم در حالت شبه‌پایدار است.

ج- ظرفیت حرارتی سلول، پوسته محافظ و عایق ناچیز است.

د- ضریب عبوردهی روکش شفاف تقریباً ۱۰۰٪ است.

ه- تلفات اهمی در مدول فتوولتائیک قابل اغماض است.

و- دمای سطح صفحه پوسته محافظ، روکش شفاف، شیشه مدول فتوولتائیک، پوشش شیشه‌ای پیوی تی و صفحه جاذب میانگین فرض می‌شود.

ز- جریان هوای گذرنده از کلکتور پیوی تی آرام فرض می‌شود.

## ۲-۱- مدل‌سازی حرارتی مدول خورشیدی

شکل ۲ مقطع عرضی مدول فتوولتائیک (کلکتور پیوی تی) قادر جریان سیال را نمایش می‌دهد که در معرض تابش خورشیدی است.

اگر  $b$  عرض و  $dx$  المان طولی مدول فتوولتائیک باشد، تعادل انرژی مدول فتوولتائیک برای المان طولی  $bdx$  برابر معادله (۱) است [۱۰]:

$$\begin{aligned} \tau_G \alpha_c \beta_c I(t) bdx + \tau_G (1 - \beta_c) \alpha_T I(t) bdx &= \\ [U_t (T_c - T_a) + U_T (T_c - T_{bs})] bdx + \tau_G \eta_c \beta_c I(t) bdx \end{aligned} \quad (1)$$

که در آن  $T_c$  دمای سلول خورشیدی،  $T_{bs}$  دمای محیط،  $T_a$  دمای صفحه پشتی مدول فتوولتائیک (پوسته محافظ)،  $I(t)$  تابش خورشیدی در زمان  $t$ ،  $\tau_G$  ضریب عبور شیشه مدول فتوولتائیک،  $\alpha_c$  ضریب جذب سلول خورشیدی،  $\alpha_T$  ضریب جذب پوسته محافظ،  $\beta_c$  فاکتور تراکم سلول خورشیدی و  $\eta_c$  راندمان سلول خورشیدی (تابعی از دمای سلول) هستند.  $U_t$  ضریب انتقال حرارت هدایت پوسته محافظ است [۱۸]:

$$U_t = \left[ \frac{L_t}{K_t} \right]^{-1} \quad (2)$$

$$\begin{aligned} \tau_G [\alpha_c \beta_c I(t) + (1 - \beta_c) \alpha_T I(t)] b dx &= [U_t (T_c - T_a) + U_T (T_c - T_{bs})] \\ b dx + \tau_G \eta_c \beta_c I(t) b dx \end{aligned} \quad (13)$$

با تقسیم دوطرف رابطه (۱۳) به  $b dx$  و مرتب سازی آن، رابطه (۱۴) حاصل می‌شود [۱۰]:

$$U_T (T_c - T_{bs}) = h_{p1} (\alpha \tau)_{eff} I(t) - U_{tT} (T_{bs} - T_a) \quad (14)$$

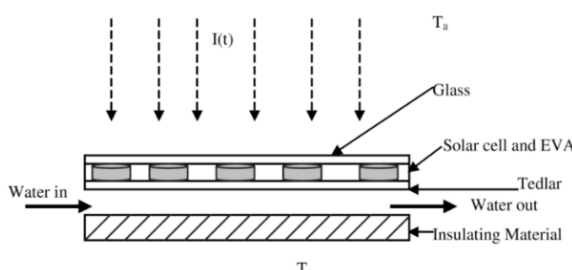
رابطه (۱۴) نرخ انرژی حرارتی انتقال یافته از سلول‌های

خورشیدی به صفحه پشتی پوسته محافظت تعریف می‌شود.  $h_{p1}$  [۲۱] فاکتور جرمیه به علت پوسته محافظت از طریق شیشه، سلول خورشیدی و روکش شفاف است و همچنین  $U_{tT}$  ضریب کلی انتقال حرارت بین شیشه فتوولتائیک و پوسته محافظت می‌باشد که برابر رابطه (۱۵) است [۲۲]:

$$U_{tT} = \left[ \frac{1}{U_t} + \frac{1}{U_T} \right]^{-1} = \frac{U_t U_T}{U_T + U_t} \quad (15)$$

شکل ۵ شبکه دمایی برای کلکتور پی‌وی‌تی بدون شیشه را نشان می‌دهد. سمت چپ شبک، مقاومت اجزای مختلف کلکتور پی‌وی‌تی را نشان می‌دهد. در سمت راست شبک، قسمت‌هایی که با خط چین مشخص شده است، مقاومت‌های سری و موازی معادل هستند. در کلکتورهای پی‌وی‌تی برای اتصال صفحه جاذب به پوسته محافظت از یک چسب سیلیکونی به ضخامت  $L_{glue}$  و هدايت حرارتی  $K_{glue}$  استفاده می‌گردد. بنابراین عبارت  $L_{glue}/K_{glue}$  مقاومت انتقال حرارت هدايت از صفحه پشتی پوسته محافظت به صفحه جاذب می‌باشد.  $h_i$  ضریب انتقال حرارت از صفحه جاذب به سیال است. عادل انرژی برای صفحه پشتی پوسته محافظت مدول فتوولتائیک برای المان طولی  $b dx$  برابر است با:

: [۱۰]



شکل ۴. مقطع عرضی کلکتور پی‌وی‌تی بدون پوشش شیشه‌ای [۱۰]

Fig. 4. Cross-section of the unglazed PV/T collector [10]

که در آن  $h_o$  ضریب کلی انتقال حرارت رابط بین سطح خارجی و هوای محیط است. بنابراین معادله (۳) برابر [۱۹]:

$$U_t = \left[ \frac{L_G}{K_G} + \frac{1}{h_o} \right]^{-1} \quad (7)$$

که  $h_o$  ضریب انتقال حرارت (جابجایی و تشعشع) شیشه به محیط می‌باشد. با ساده سازی معادله (۱) دمای سلول خورشیدی به صورت معادله (۸) به دست می‌آید [۱۹]:

$$T_c = \frac{(\alpha \tau)_{eff} I(t) + U_t T_a + U_T T_{bs}}{U_T + U_t} \quad (8)$$

$$(\alpha \tau)_{eff} = \tau_G [\alpha_c \beta_c + \alpha_T (1 - \beta_c) - \eta_c \beta_c] \quad (9)$$

( $\alpha \tau$ )<sub>eff</sub> حاصل ضرب ضریب جذب - عبور موثر می‌باشد. شکل ۳ شبکه دمایی برای یک مدول فتوولتائیک را نشان می‌دهد. در سمت راست شبک به جهت ساده سازی روابط، مقاومت تشعشع پایینی مدول،  $0 \approx h_{r,bottom}$  فرض می‌شود. مقاومت سلول پی‌وی نیز برابر:

$$\frac{L_c}{K_c} = \frac{L_{EVA}}{K_{EVA}} + \frac{L_{si}}{K_{si}} \quad (10)$$

است.  $L_{si}$  و  $K_{si}$  به ترتیب ضخامت و هدايت حرارتی سلول خورشیدی (سیلیکون) است. تعادل انرژی برای صفحه پشتی پوسته محافظت مدول فتوولتائیک برای المان طولی  $b dx$  برابر است با:

$$U_T (T_c - T_{bs}) b dx = h_i (T_{bs} - T_a) b dx \quad (11)$$

با جایگزینی  $T_c$  از معادله (۱) دمای صفحه پشتی با معادله (۱۲) بیان می‌شود [۱۰]:

$$T_{bs} = \frac{h_{p1} (\alpha \tau)_{eff} I(t) + U_{tT} T_a + h_i T_a}{U_{tT} + h_i} \quad (12)$$

## ۲-۲- مدل سازی حرارتی کلکتور پی‌وی‌تی بدون شیشه

شکل ۴ مقطع عرضی کلکتور پی‌وی‌تی بدون پوشش را نشان می‌دهد. اگر  $b$  عرض و  $dx$  المان طولی کلکتور خورشیدی فتوولتائیک - حرارتی پی‌وی‌تی باشد، معادله تعادل انرژی مدول فتوولتائیک برای المان طولی  $b dx$  به شرح رابطه (۱۳) است [۱۸]:

$m_f$  و  $C_f$  به ترتیب دی جرمی و گرمای ویژه سیال،  $h_T$  برابر ضریب انتقال از پشت مدول فتوولتائیک (صفحه پشتی پوسته محافظ) به سیال است و  $U_b$  ضریب کلی انتقال حرارت از زیر کلکتور به محیط آن می‌باشد که برابر معادله (۲۱) است [۲۱]:

$$U_b = \left[ \frac{L_t}{K_t} + \frac{1}{h_i} \right]^{-1} \quad (21)$$

$h_i$  ضریب انتقال حرارت بین سطح زیرین و محیط می‌باشد. با انتگرال گیری و مرتب سازی رابطه (۲۰) حاصل می‌شود: انرژی مفید دریافتی  $\dot{q}_u$  به ازای واحد طول جریان سیال در کلکتور پی‌وی‌تی که از طریق آب انتقال می‌باید به صورت [۱۰]:

$$\begin{aligned} \dot{q}_u &= WF \left[ h_{p1} h_{p2} (\alpha\tau)_{eff} I(t) - U_{tw} (T_f - T_a) - U_b (T_f - T_a) \right] \\ &= WF \left[ h_{p1} h_{p2} (\alpha\tau)_{eff} I(t) - U_L (T_f - T_a) \right] \end{aligned} \quad (22)$$

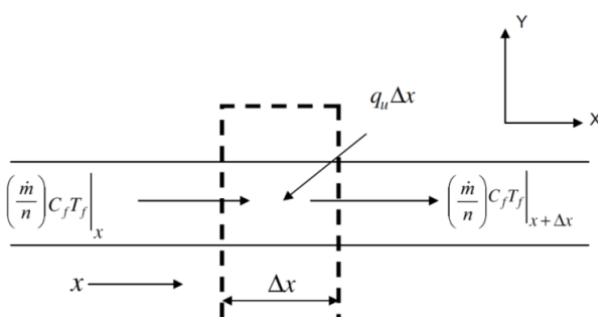
که در آن  $U_L$  ضریب کلی انتقال حرارت از سلول خورشیدی به محیط از سطح بالا و عایق پشت می‌باشد که برابر [۲۱]:

$$U_L = U_{tw} + U_b \quad (23)$$

است.  $F$  راندمان پره،  $W$  فاصله بین دو مجرای جریان و  $\dot{q}_u$  انرژی مفید دریافتی به ازای واحد طول جریان است که از طریق سیال انتقال می‌باید. سیال در دمای  $T_{f,out}$  وارد کلکتور می‌شود و دمای آن در خروجی تا  $T_{f,out}$  افزایش می‌یابد. شکل ۶ موافذه انرژی بر روی سیال عبور کننده از یک لوله واحد با طول  $\Delta x$  را نشان می‌دهد یه طوری که [۲۳]:

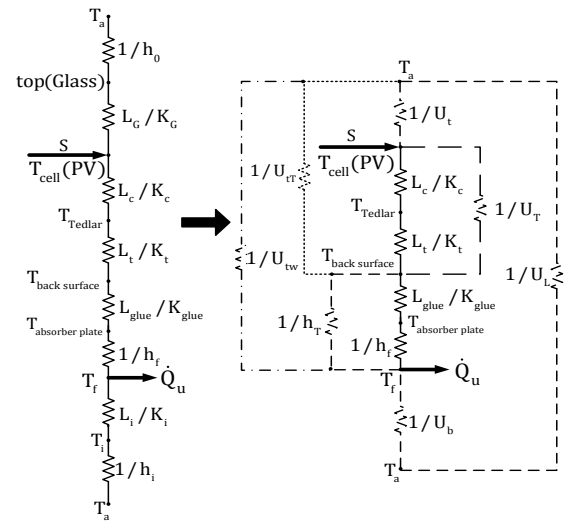
$$\left( \frac{\dot{m}}{n} \right) C_f T_{fx+\Delta x} - \left( \frac{\dot{m}}{n} \right) C_f T_{fx} - \dot{q}_u \Delta x = 0 \quad (24)$$

که  $n$  تعداد لوله‌های موازی است. با تقسیم معادله فوق به  $\Delta x$  و



شکل ۶. تعادل جریان گرمایی در زیر پوسته محافظ برای المان طولی  $\Delta x$  [۱۰].

Fig. 6. Heat flow balance over an elemental length  $\Delta x$  below tedlar [10]



شکل ۵. شبکه دمایی برای کلکتور پی‌وی‌تی بدون شیشه [۲۰]

Fig. 5. Thermal network for an unglazed PV/T collector [20]

$$U_T (T_c - T_{bs}) bdx = h_T (T_{bs} - T_f) bdx \quad (16)$$

به کمک معادله (۱۶) و جایگزینی معادله (۱۵) در معادله (۱۴)، معادله (۱۷) دست می‌آید [۲۱]:

$$\begin{aligned} h_T (T_{bs} - T_f) &= \frac{h_T}{h_T + U_{iT}} h_{p1} (\alpha\tau)_{eff} I \\ &\quad (t) - \frac{h_T U_{iT}}{h_T + U_{iT}} (T_f - T_a) \end{aligned} \quad (17)$$

معادله (۱۷) نرخ انرژی حرارتی انتقال یافته از سطح پشتی پوسته محافظ به سیال در شرایطی می‌باشد که در آن  $T_f$  دمای سیال عامل،  $h_T$  ضریب انتقال حرارت صفحه پشتی پوسته محافظ به سیال و  $U_{tw}$  جریمه به علت سطح مشترک بین پوسته محافظ و سیال می‌باشد. ضریب کلی انتقال حرارت بین پوشش شیشه‌ای و جریان سیال است که برابر [۲۱]:

$$U_{tw} = \left[ \frac{1}{h_T} + \frac{1}{U_{iT}} \right]^{-1} = \frac{h_T U_{iT}}{h_T + U_{iT}} \quad (18)$$

می‌باشد. در نهایت معادله (۱۸)، به صورت رابطه (۱۹) نوشته می‌شود [۲۳]:

$$h_T (T_{bs} - T_f) = h_{p1} h_{p2} (\alpha\tau)_{eff} I (t) - U_{tw} (T_f - T_a) \quad (19)$$

با توجه به الگوی جریان نشان داده شده در شکل ۶، معادله تعادل انرژی برای جریان آب داخل لوله به شکل رابطه (۲۰) است [۱۳]:

$$F h_T (T_{bs} - T_f) bdx = \dot{m}_f C_f \frac{dT_f}{dx} dx + U_b (T_f - T_a) bdx \quad (20)$$

$$\begin{aligned} \tau_g \tau_G [\alpha_c \beta_c I(t) + (1 - \beta_c) \alpha_T I(t)] b dx = \\ [U_t (T_c - T_a) + U_T (T_c - T_{bs})] \\ b dx + \tau_g \tau_G \eta_c \beta_c I(t) b dx \end{aligned} \quad (29)$$

جذب - عبور موثر برابر:

شکل ۸ شبکه دمایی برای کلکتور پیویتی دارای یک شیشه را

$$(\alpha\tau)_{eff} = \tau_g \tau_G [\alpha_c \beta_c + \alpha_T (1 - \beta_c) - \eta_c \beta_c] \quad (30)$$

نشان می‌دهد. در شکل سمت چپ، مقاومت اجزای مختلف کلکتور پیویتی و در سمت راست، مقاومت‌های ترکیبی (قسمت‌هایی که با خط چین مشخص شده) نشان داده شده است. تفاوت روابط انتقال حرارت در کلکتور پیویتی دارای پوشش شیشه‌ای با نوع بدون شیشه در مقدار  $U_i$  می‌باشد که دارای یک ترم اضافی به دلیل وجود شیشه اضافی است که برابر معادله (۳۱) می‌باشد [۱۸]:

که در آن  $L_g$  و  $K_g$  ضخامت و هدایت حرارتی پوشش هستند.

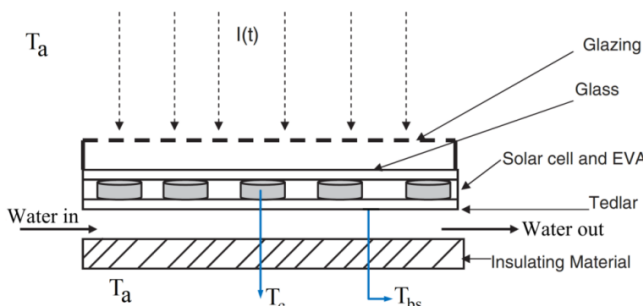
$$U_i = \left[ \frac{L_G}{K_G} + \frac{1}{h_{c,G-g}} + \frac{L_g}{K_g} + \frac{1}{h_o} \right]^{-1} \quad (31)$$

$h_{t,G-g}$  و  $h_{c,G-g}$  به ترتیب ضریب انتقال حرارت جابجایی و تشعشع بین شیشه فتوولتائیک و پوشش می‌باشند. روش محاسبه ضریب انتقال حرارت جابجایی  $h_{c,G-g}$  و تشعشع  $h_{t,G-g}$  به این صورت است که ابتدا دمای پوشش  $T_g$  تخمین زده می‌شود سپس در دمای میانگین شیشه فتوولتائیک و پوشش  $T_m = (T_G + T_g)/2$ ، خواص هوا همچون  $k_{air}$ ،  $\mu$ ،  $C_p$ ،  $\rho$  از جدول خوانده می‌شود که نفوذ گرمایی و لزجت سینماتیکی به ترتیب برابر [۷]:

است. عدد رایلی، و عدد ناسلت بر حسب زاویه کلکتور با سطح افق

$$\alpha = \frac{k}{\rho C_p}, \quad \nu = \frac{\mu}{\rho} \quad (32)$$

به صورت روابط (۳۳) و (۳۴) بیان می‌شود [۹]:



شکل ۷. مقطع عرضی کلکتور پیویتی داری شیشه [۱۸]

Fig. 7. Cross-section of the glazed PV/T collector [18]

یافتن حد زمانیکه  $\Delta x \rightarrow 0$  و جایگزینی معادله (۲۴) برای  $\dot{q}_u$ ، انرژی خالص حرارتی در دسترس سیال بین پوسته محافظ و عایق زیرین بیان می‌شود با [۲۳]:

$$WF' [h_{p1} h_{p2} (\alpha\tau)_{eff} I(t) - U_L (T_f - T_a)] = \frac{m}{n} C_f \frac{dT_f}{dx} \quad (25)$$

معادله (۲۵) مشابه عبارت کلکتور صفحه تخت معمولی به جز ترم‌های  $h_{p1}$  و  $h_{p2}$  است. وجود  $h_{p1}$  و  $h_{p2}$  راندمان کلکتور پیویتی را در مقایسه با یک کلکتور صفحه تخت معمولی کاهش می‌دهد. از معادله (۱۳) عبارت دمای سلول خورشیدی بر حسب دمای صفحه پشتی مدول فتوولتائیک و پارامترهای آب و هوایی می‌تواند به صورت زیر نوشته شود [۲۳]:

$$T_c = \frac{(\alpha\tau)_{eff} I(t) + U_t T_a + U_T T_{bs}}{U_T + U_t} \quad (26)$$

هم اکنون، با جایگزینی عبارت  $T_c$  از رابطه (۲۶) در رابطه (۱۶)، عبارت دمای صفحه پشتی مدول فتوولتائیک به صورت معادله (۲۷) به دست می‌آید [۲۱]:

$$T_{bs} = \frac{h_{p1} (\alpha\tau)_{eff} I(t) + U_{iT} T_a + h_T T_w}{U_{iT} + h_T} \quad (27)$$

با بازنویسی معادله (۲۴) و انتگرال گیری از آن در شرط اولیه  $x=0$ ، دمای سیال خروجی در زیر پوسته محافظ به صورت معادله (۲۸) حاصل می‌شود [۱۹]:

$$T_{f,out} = T_f \Big|_{x=0} = \left( \frac{h_{p1} h_{p2} (\alpha\tau)_{eff} I(t)}{U_L} + T_a \right) \times \left( 1 - \exp \left( - \frac{A_e U_L F}{m C_f} \right) \right) + T_{f,in} \exp \left( - \frac{A_e U_L F}{m C_f} \right) \quad (28)$$

که  $A_c = bL = NWL$  مساحت سلول خورشیدی و  $N$  تعداد ماجرا است.

## ۲-۳- مدل‌سازی حرارتی کلکتور پیویتی داری پوشش شیشه‌ای

معادلات تعادل انرژی برای هر جزء کلکتور خورشیدی فتوولتائیک - حرارتی پیویتی دارای پوشش شیشه‌ای مشابه نوع بدون پوشش می‌باشد. شکل ۷ مقطع عرضی کلکتور پیویتی دارای پوشش شیشه‌ای را نشان می‌دهد. اگر  $b$  عرض و  $a$  المان طولی کلکتور پیویتی باشد، معادله تعادل انرژی مدول فتوولتائیک برای المان طولی  $b dx$  برابر رابطه (۲۹) است:

که  $\tau_g$  ضریب عبور پوشش شیشه‌ای می‌باشد. حاصل ضرب ضریب

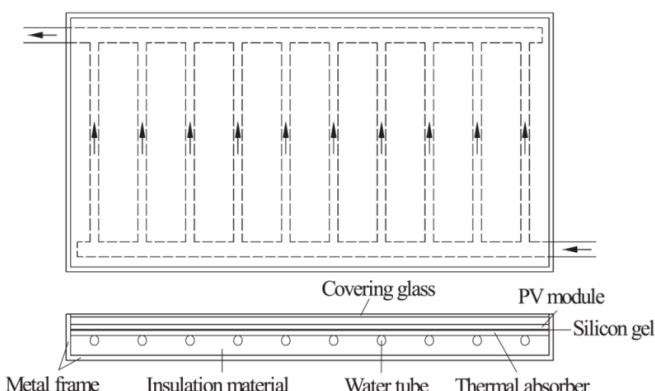
نیست در غیر این صورت مقدار جدید  $T_g$  به کار برد می‌شود و روش تکرار خواهد شد. از آنجایی که محاسبه با این روش کار طاقت‌فرسایی است، حل این مساله با استفاده از نرم‌افزار متلب انجام می‌گیرد به گونه‌ای که متلب مرحله به مرحله داده‌ها را از کاربر دریافت کرده، مقادیر را محاسبه و نمایش می‌دهد.

**۴-۲- توزیع دما بین لوله‌ها و ضریب بازدهی کلکتور پیوی‌تی**  
مدول فتوولتائیک خود می‌تواند به صورت یک صفحه جاذب عمل نماید بنابراین می‌توان کلکتور پیوی‌تی را در حالتی که دارای صفحه جاذب و یا فاقد آن باشد، مورد بررسی قرار داد. در این تحقیق فرض می‌شود که لوله‌ها واقع در زیر صفحه جاذب می‌باشند. مقطع لوله‌ها نیز در حالت گرد یا مستطیلی و به شکل موازی یا مارپیچی تحلیل می‌شوند.

#### ۴-۲-۱- در حالت لوله موازی

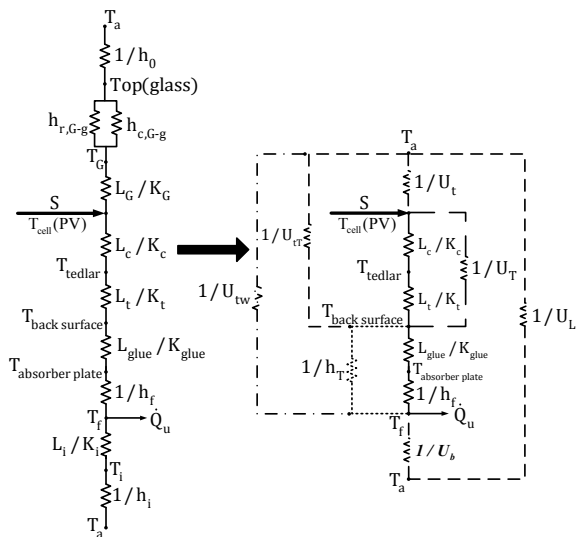
شکل ۹ کلکتور پیوی‌تی دارای پوشش را نشان می‌دهد که مدول فتوولتائیک به قسمت بالایی صفحه جاذب اتصال یافته است. لوله‌های موازی شکل در قسمت زیرین صفحه جاذب و به آن جوش شده است. جریان آب از پایین (سمت راست) کلکتور پیوی‌تی وارد و از بالا (سمت چپ) خارج می‌شود.

اگر فرض شود که گرadiان دما در جهت جریان صرف نظر می‌شود، در آن صورت می‌توان توزیع دمای بین لوله‌ها را به دست آورد. ترکیبی برای مدول فتوولتائیک و صفحه مطابق آنچه که در شکل ۱۰ نشان داده شده در نظر گرفته می‌شود.  $W$  فاصله بین لوله‌ها و  $D$  قطر خارجی لوله است. ضخامت سلول سیلیکونی و صفحه



شکل ۹. نمای بالایی مقطع عرضی کلکتور پیوی‌تی [۲۴]

Fig. 9. Top view of the PV/T collector cross-section [24]



شکل ۸. شبکه دمایی برای کلکتور پیوی‌تی دارای یک پوشش شیشه‌ای

Fig. 8. Thermal network for a glazed PV/T collector

با توجه به روابط فوق، ضریب انتقال حرارت تشبع و جابجایی

$$R_a = \frac{g(T_G - T_g) L_{G-g}^3}{T_m v \alpha} \quad (33)$$

$$N_u = 1 + 0.44 \left[ 1 - \frac{1708(\sin 1.8\beta)^{1.6}}{R_a \cos \beta} \right] \times \left[ 1 - \frac{1708}{R_a \cos \beta} \right] + \left[ \left( \frac{R_a \cos \beta}{5830} \right)^{1/3} - 1 \right] \quad (34)$$

برابر معادله (۳۵) و (۳۶) هستند [۷]:

که در آن  $k_{air}$ ،  $C_p$ ،  $\rho$ ،  $v$  و  $\mu$  به ترتیب لزجت دینامیکی،

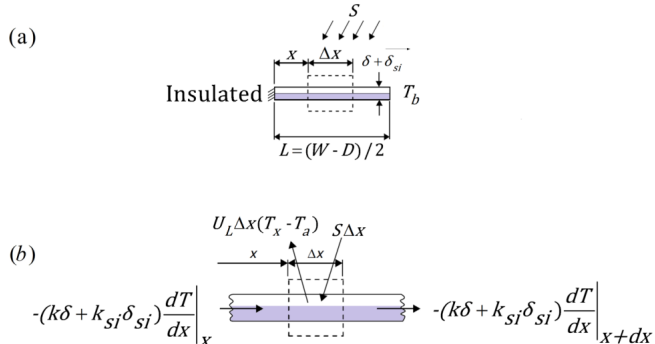
$$h_{r,G-g} = \frac{\sigma(T_G + T_g)(T_G^2 + T_g^2)}{\frac{1}{\varepsilon_G} + \frac{1}{\varepsilon_g} - 1} \quad (35)$$

$$h_{c,G-g} = \frac{k_{air}}{L_{G-g}} N_u \quad (36)$$

لزجت سینماتیکی، هدایت حرارتی، گرمای ویژه، پرنتل و چگالی هوا در دمای میانگین  $T_m$  می‌باشند. همچنین  $L_{G-g}$  فاصله بین شیشه فتوولتائیک با پوشش،  $\beta$  زاویه کلکتور پیوی‌تی است.  $\varepsilon_g$  و  $\varepsilon_g$  نیز به ترتیب ضریب نشر شیشه فتوولتائیک و پوشش می‌باشد. با این ضرایب انتقال حرارت و مقادیر  $h_0$  و  $h_{r,G-g}$  محاسبه شده از روابط (۵) و (۶) ضریب اتفاف حرارت بالایی  $U_L$  از معادله (۳۱) محاسبه می‌گردد. آن‌گاه این نتایج برای محاسبه  $T_g$  به شکل معادله (۳۷) به کار می‌رود [۷]:

اگر  $T_g$  نزدیک به حدس اولیه باشد، به محاسبات بیشتر نیازی

$$T_g = T_G - \frac{U_L(T_G - T_a)}{h_{G,c-g} + h_{r,G-g}} \quad (37)$$



شکل ۱۱. موازنۀ انرژی برای المان پره  
Fig. 11. The energy balance for fin element

می‌باشد. برای سادگی می‌توان متغیر  $m$  را به فرم معادله (۴۲)

$$S = h_{p1} h_{p2} (\alpha \tau)_{eff} I(t) \quad (41)$$

تعريف کرد [۱۶]:

در صورتی که  $\frac{(K_{\&} + K_{\&})m}{U_i} = \frac{1}{m}$  باشد برای دو سمت انرژی جمع شده

$$m = \sqrt{U_L / (k\delta + k_{si}\delta_{si})} \quad (42)$$

مساوی است با:

استفاده از مفهوم کارایی پره برای نوشتن معادله بالا مناسب است

$$q'_{fin} = (W - D) [S - U_L (T_b - T_a)] \times \tanh \left[ \frac{(m(W - D)/2)}{m(W - D)/2} \right] \quad (43)$$

به طوری که:

انرژی مفید به دست آمده در بالای لوله نیز برابر است با:

$$q'_{tube} = (W - D) F [S - U_L (T_b - T_a)] \quad (44)$$

مجموع انرژی کسب شده توسط کلکتور در ازای واحد طول در

$$q'_{tube} = D [S - U_L (T_b - T_a)] \quad (45)$$

جهت جریان، مجموع روابط (۴۴) و (۴۵) است. مقدار  $F$  از رابطه (۴۶) قابل محاسبه است [۲۵]:

و انرژی مفید دریافتی برای لوله و پره به ازای واحد طول در جهت

$$F = \tanh \left[ \frac{m(W - D)/2}{m(W - D)/2} \right] \quad (46)$$

جاذب به ترتیب  $\delta_{si}$  و  $\delta$  می‌باشد. از آن جایی که سیلیکون و صفحه جاذب‌های خوبی هستند، از گرادیان دما در طول صفحه سیلیکون و جاذب صرف نظر می‌شود. فرض خواهیم کرد که قسمت پایین سلول سیلیکونی تقریباً در دمای مبنای محلی  $T_b$  است. ناحیه بین خط مرکزی جدا کننده لوله‌ها و پایه لوله می‌تواند به عنوان یک مسئله پره کلاسیک مورد بررسی قرار گیرد.

مقاومت‌های جاذب، چسب بین پوسته محافظ و جاذب، روکش شفاف، پوسته محافظ و سلول به شکل موازی می‌باشند بنابراین با توجه به یک بعدی بودن جهت انتقال حرارت از نقطه  $x$  تا  $x + \Delta x$  انتقال حرارت کل با رابطه (۳۸) تعریف می‌شود:

همان‌طوری که در شکل ۱۱ نشان داده شده است، طول پره برابر

$$q = q_{abs} + q_{glue} + q_{tedlar} + q_{EVA} + q_{si} \quad (38)$$

$(W - D)/2$  است و یک ناحیه المانی با عرض  $\Delta x$  و طول واحد در جهت جریان در نظر گرفته می‌شود. موازنۀ انرژی بر روی این المان نتیجه می‌دهد:

که برابر رابطه (۴۰) است:

$$S \Delta x - U_L \Delta x (T_b - T_a) + q \Delta x = 0 \quad (39)$$

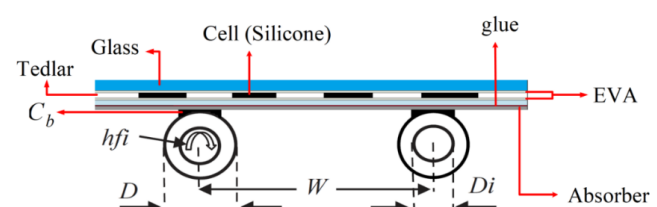
در معادله (۴۰) از تاثیر چسب، روکش شفاف و پوسته محافظ

$$\begin{aligned} S \Delta x - U_L \Delta x (T_b - T_a) + & \left[ \left( -k_{si} \delta_{si} \frac{dT}{dx} \right)_x - \left( -k_{si} \delta_{si} \frac{dT}{dx} \right)_{x+\Delta x} \right] \\ & + \left[ \left( -k \delta \frac{dT}{dx} \right)_x - \left( -k \delta \frac{dT}{dx} \right)_{x+\Delta x} \right] = 0 \end{aligned} \quad (40)$$

صرف‌نظر شده است زیرا ترموهای زیر برابر صفر هستند:

انرژی خورشیدی جذب شده  $S$  برابر

$$k_{glue} \delta_{glue} = k_{tedlar} \delta_{tedlar} = k_{EVA} \delta_{EVA} \approx 0$$



شکل ۱۰. شکل شماتیک نحوه اتصال لوله و صفحه جاذب [۲۰]

Fig. 10. Schematic diagram of the connection between absorber and tube [20]

صفحه جاذب می‌باشد که برابر است با [۹]:

$$h_{ca} = \left( \frac{L_{EVA}}{K_{EVA}} + \frac{L_{glue}}{K_{glue}} + \frac{L_{tedlar}}{K_{tedlar}} \right)^{-1} \quad (50)$$

ضریب هدایت اتصال  $C_b$  می‌تواند با آگاهی از ضریب هدایت گرمایی اتصال،  $k_b$ ، ضخامت متوسط اتصال  $\gamma$  و عرض اتصال  $b$  بر مبنای واحد طول برآورد شود [۷]:

$$C_b = \frac{k_b b}{\gamma} \quad (51)$$

با حل معادله (۴۸) برای  $T_b$  و جایگزینی آن در معادله (۴۷) و حل نتیجه حاصل، انرژی مفید دریافتی با معادله (۵۲)

$$q'_u = WF' [S - U_L (T_f - T_a)] \quad (52)$$

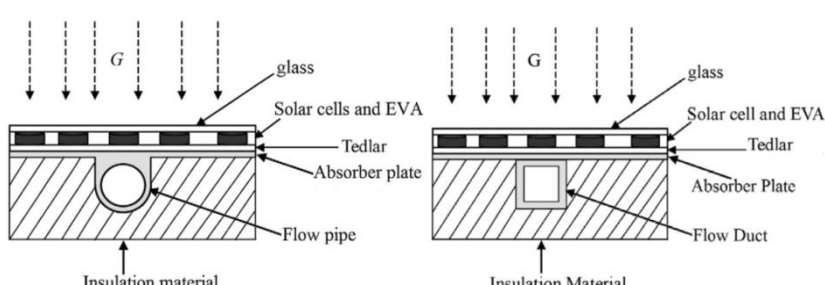
به دست می‌آید که ضریب کارایی کلکتور  $F'$  با رابطه (۵۳) ارائه می‌شود [۲۶]:

$$F' = \frac{1/U_L}{W \left[ \frac{1}{U_L [D + (W - D)F]} + \frac{1}{\pi D_i h_{fi}} + \frac{1}{Wh_{ca}} + \frac{1}{C_b} \right]} \quad (53)$$

برای ماجرا با مقطع مستطیلی یا مربعی (شکل ۱۳ سمت راست) با استفاده از مفهوم قطر هیدرولیکی ( $D_h = 2ab/(a+b)$ ) که در آن  $a$  و  $b$  به ترتیب طول و عرض مقطع داخلی ماجرا هستند شکل ۱۴، ضریب کارایی کلکتور  $F'$  با معادله (۵۴) بیان می‌شود:

کمیتی که انرژی مفید دریافتی واقعی یک کلکتور را در حالی که

$$F' = \frac{1/U_L}{W \left[ \frac{1}{U_L [D_h + (W - D_h)F]} + \frac{1}{2(a+b)h_{fi}} + \frac{1}{C_b} + \frac{1}{Wh_{ca}} \right]} \quad (54)$$



شکل ۱۳. نمای مقطع عرضی کلکتور پیوی تی: لوله با مقطع گرد (سمت چپ) و مجرای با مقطع مستطیلی (سمت راست)

Fig. 13. Schematic diagram of PV/T collector - rectangular tube section (left side); circular tube section (right side)

سیال آب به صورت زیر معادله (۵۸) دست می‌آید [۱۳].  
معادله (۲۵) مشابه معادله نرخ انرژی مفید برای کلکتور صفحه

$$\dot{Q}_u = A_c F_R \left[ h_{p1} h_{p2} (\alpha\tau)_{eff} I(t) - U_L (T_{f,in} - T_a) \right] \quad (58)$$

تحت است. راندمان حرارتی لحظه‌ای کلکتور پیویتی برای جریان سیال آب در حالت نئوری و تجربی به ترتیب با معادله (۵۹) و (۶۰) تعريف می‌شود [۲۱].

راندمان حرارتی لحظه‌ای ماکزیمم کلکتور پیویتی، زمانی است

$$\eta_i(\text{theo}) = \frac{\dot{Q}_u(\text{theo})}{A_c \times I(t)} = F_R \left[ h_{p1} h_{p2} (\alpha\tau)_{eff} - U_L \frac{T_{f,in} - T_a}{I(t)} \right] \quad (59)$$

و [۱۴]

$$\eta_i(\text{exp}) = \frac{\dot{Q}_u(\text{exp})}{A_c \times I(t)} = \frac{\dot{m} C_f (T_{f,out} - T_{f,in})}{A_c I(t)} \quad (60)$$

که در آن  $T_{f,in} = T_a$  باشد بنابراین از رابطه (۶۱) به دست می‌آید.

$$\eta_{i,max} = F_R h_{p1} h_{p2} (\alpha\tau)_{eff} \quad (61)$$

### ۳- مدل سازی الکتریکی

توان الکتریکی خروجی کلکتور پیویتی و مدول فتوولتائیک

$$\dot{Q}_{u,electrical} \quad \text{با رابطه (۶۲) به دست می‌آید [۲۲]}$$

که در آن  $A_e$  مساحت کلکتور و  $\eta_{el} = \eta_{pv}$  بازده الکتریکی مدول به

$$\dot{Q}_{u,electrical} = \begin{cases} PV : t_G \eta_{ec} \beta_c A_e I(t) \\ PV/T : t_G \eta_{ec} \beta_c A_e I(t) \\ PV/T_{one cover} : t_g t_G \eta_{ec} \beta_c A_e I(t) \end{cases} \quad (62)$$

عنوان تابعی از دما می‌باشد که برابر است با [۲۲]:

$$\eta_{el} = \eta_o [1 - \gamma(T_c - T_o)] \quad (63)$$

مرجع مدول فتوولتائیک در دمای K ۲۹۸ و تابش W/m<sup>2</sup> ۱۰۰۰ است. γ ضریب دمای راندمان الکتریکی سلول خورشیدی و راندمان سلول و دمای مرچنین این مقادیر برای سیلیکون

کل سطح کلکتور در دمای ورودی سیال باشد به انرژی مفید دریافتی مرتبط کند ضریب تفکیک گرمایی کلکتور F<sub>R</sub> نامیده می‌شود. که برابر است با [۱۶]:

### ۱-۱-۱- در حالت لوله مارپیچی

$$F_R = \frac{\dot{m} C_p (T_{fo} - T_{fi})}{A_C \left[ h_{p1} h_{p2} (\alpha\tau)_{eff} I(t) - U_L (T_{fi} - T_a) \right]} = \frac{\dot{m} C_f}{A_c U_L} \left[ 1 - \exp \left( - \frac{A_c U_L F'}{\dot{m} C_f} \right) \right] \quad (55)$$

زنداگ و لاوان [۲۷] نشان دادند که F<sub>R</sub> برای لوله مارپیچی در کلکتور حرارتی به صورت عباراتی از سه پارامتر بی بعد F<sub>3</sub> و F<sub>1</sub>, F<sub>2</sub> و F<sub>6</sub> تعیین می‌شود (پارامترهای F<sub>5</sub>, F<sub>4</sub> و F<sub>6</sub> تنها به صورت تابعی از F<sub>2</sub> می‌باشند). با توجه به شکل ۱۵ ضریب تفکیک گرمایی بهبود یافته F<sub>R</sub> برای کلکتور پیویتی از معادله (۵۴) حاصل می‌شود [۲۷]:  
که در آن ضرایب F<sub>1</sub> تا F<sub>6</sub> بوسیله روابط زیر تعريف می‌شوند:

$$F_R = F_1 F_3 F_5 \left[ \frac{2F_4}{F_6 \exp \left[ -\sqrt{1 - F_2^2} / F_3 \right] + F_5} - 1 \right] \quad (56)$$

ضریب کارایی کلکتور F' از رابطه (۵۵) به شکل رابطه (۵۷) حاصل

$$\begin{aligned} F_1 &= \frac{\kappa}{U_L W} \frac{\kappa R (1+\gamma)^2 - 1 - \gamma - \kappa R}{[\kappa R (1+\gamma) - 1]^2 - (\kappa R)^2}, \\ F_2 &= \frac{1}{\kappa R (1+\gamma)^2 - 1 - \gamma - \kappa R}, \\ F_3 &= \frac{\dot{m} C_f}{F_1 A_c U_L}, \quad F_4 = \left( \frac{1 - F_2^2}{F_2^2} \right)^{1/2}, \\ F_5 &= \frac{1}{F_2} + F_4 - 1, \quad F_6 = 1 - \frac{1}{F_2} + F_4, \\ \kappa &= \frac{[(K\delta + K_{si}\delta_{si})U_L]^{1/2}}{\sinh \left[ (W - D)(U_L / (K\delta + K_{si}\delta_{si}))^{1/2} \right]}, \\ R &= \frac{1}{h_{fi}\pi D_i} + \frac{1}{C_b} + \frac{1}{W h_{ca}}, \\ \gamma &= -2 \cosh \left[ (W - D)(U_L / (K\delta + K_{si}\delta_{si}))^{1/2} \right] - \frac{DU_L}{\kappa} \end{aligned}$$

می‌شود.

از معادله (۲۵) انرژی مفید حرارتی کلکتور پیویتی برای جریان

$$F' = - \frac{\dot{m} C_f}{A_c U_L} \ln \left( 1 - \frac{A_c U_L F_R}{\dot{m} C_f} \right) \quad (57)$$

مونو کریستال برابرند با [۸]:

#### ۴- راستی آزمایی مدل‌سازی حرارتی و الکتریکی

با هدف اعتبار بخشیدن به نتایج مدل‌سازی تئوری که در بخش‌های ۱ تا ۳ ذکر شد، دمای آب خروجی و راندمان حرارتی لحظه‌ای با مراجع [۹] و [۱۳] مقایسه شدن. در مرجع [۱۳] مدول به طور مکانیکی و بدون هیچ‌گونه چسبی به کلکتور حرارتی متصل گردیده است. مشخصات فیزیکی این دو مرجع در جدول ۱ آمده است:

مقادیر به دست آمده در این دو مرجع از تست تجربی حاصل شده است بنابراین با حل حاصل از روابط این مطالعه و مقایسه آن با نتایج دو مرجع [۹] و [۱۳] صحت روابط تئوری اثبات می‌شود. نتایج به همراه درصد خطأ در جدول ۲ ذکر شده‌اند.

در ادامه دو عدد مدول فتوولتائیک W۴۰ خریداری شد که یکی به عنوان شاهد و دیگری در ساخت کلکتور پیوی‌تی بدون پوشش بکار رفت. در این آزمایش از صفحه و لوله مسی با مقطع گرد استفاده گردید به صورتی که لوله به زیر صفحه مسی جوش داده شده و قسمت بالایی صفحه توسط چسب هل به زیر مدول فتوولتائیک

$$\eta_o = 0.12 \quad T_o = 25^\circ\text{C} \quad \gamma = 0.0045^\circ\text{C}^{-1}$$

#### ۳-۱- راندمان حرارتی و الکتریکی کل

راندمان کل و راندمان حرارتی کل کلکتور پیوی‌تی به ترتیب برابر معادلات (۶۴) و (۶۵) هستند [۲۲].

بهره انرژی حرارتی کل کلکتور پیوی‌تی بر اساس قانون اول

$$\eta_{overall} = \eta_{thermal} + \eta_{electrical} \quad (64)$$

$$\eta_{overall, thermal} = \eta_{thermal} + \frac{\eta_{electrical}}{0.38} \quad (65)$$

ترمودینامیک تعریف می‌شود که برابر معادله (۶۶) است [۲۸].

$$\sum \dot{Q}_{u, total} = \sum \dot{Q}_{u, thermal} + \sum \frac{\dot{Q}_{u, electrical}}{0.38} \quad (66)$$

جدول ۱. مقادیر پارامترهای کلکتور فتوولتائیک - حرارتی در مراجع [۹] و [۱۳]

Table 1. Photovoltaic - thermal collector parameters as mentioned in [9, 13]

نماد	واحد	نماد	شرح	نماد	واحد	نماد	شرح
۰/۰۰۸	m	$D_i$	قطر داخلی لوله	سوپنیل و اندر [۱۳]		مساحت کلکتور پیوی‌تی	
۰/۰۰۲	m	$\delta$	ضخامت صفحه جاذب	۱۲۶۷	$m^2$	$A_c$	ضریب کارایی کلکتور
۴۰۰	W/m K	$K$	هدایت حرارتی صفحه جاذب	۰/۹۵۶	-	$F'$	ضریب تغذیه گرمایی
۰/۰۲	Kg/s	$\dot{m}$	دبی جرمی آب	۰/۹۴۸	-	$F_R$	ضخامت شیشه فتوولتائیک
۰/۰۰۳	m	$L_G$	ضخامت شیشه فتوولتائیک	۰/۰۰۳	m	$L_G$	ضخامت عایق پشتی
۱/۰	W/m <sup>2</sup> K	$h_{ins}$	ضریب انتقال حرارت عایق	۰/۰۰۴۲	m	$L_i$	ضخامت پوسته محافظ
۰/۰۰۰۱	m	$L_T$	ضخامت پوسته محافظ	۰/۰۰۰۲۲	m	$L_T$	هدایت حرارتی شیشه فتوولتائیک
۰/۰۰۰۳۵	m	$L_{si}$	ضخامت حرارتی سلول (سیلیکون)	۱/۰	W/m K	$K_G$	هدایت حرارتی عایق
۰/۰۰۰۰۵	m	$L_{glue}$	ضخامت چسب	۰/۰۳۵	W/m K	$K_i$	هدایت حرارتی پوسته محافظ
۰/۰۰۰۰۵	m	$L_{EVA}$	ضخامت روکش شفاف	۰/۰۳۳	W/m K	$K_T$	ضریب جذب سلول خورشیدی
۱۴۰	W/m K	$K_{si}$	هدایت حرارتی سلول (سیلیکون)	۰/۹۰	-	$\alpha_c$	ضریب جذب پوسته محافظ
۰/۹	W/m K	$K_G$	هدایت حرارتی شیشه فتوولتائیک	۰/۵۰	-	$\alpha_T$	فاکتور تراکم سلول خورشیدی
۰/۲	W/m K	$K_T$	هدایت حرارتی پوسته محافظ	۰/۸۰	-	$\beta_c$	راندمان مراع مازول فتوولتائیک
۰/۸۵	W/m K	$K_{glue}$	هدایت حرارتی چسب	۰/۱۵	-	$\eta_o$	ضریب عبوردهی شیشه فتوولتائیک
۰/۳۵	W/m K	$K_{EVA}$	هدایت حرارتی روکش شفاف	۰/۹۶	-	$\tau_g$	ضریب انتقال حرارت صفحه پشتی
۰/۶۹۸	-	$(\alpha\tau)_{eff}$	ضریب جذب - عبور موثر کلکتور پیوی‌تی بدون پوشش	۴۵	W/m <sup>2</sup> K	$h_T$	پوسته محافظ به سیال
۱/۰	m/s	$V_w$	سرعت باد	۱/۰	m/s	$V_w$	سرعت باد
۰/۰۰۳۲	m	$L_g$	ضخامت پوشش شیشه‌ای	۰/۰۰۴۵	$^\circ\text{C}^{-1}$	$\gamma$	ضریب دما
۰/۹	W/m K	$K_g$	هدایت حرارتی پوشش شیشه‌ای	۰/۰۰۲	m	$\delta$	ضخامت صفحه جاذب
۰/۰۲	m	$L_{G-g}$	فاصله شیشه فتوولتائیک تا پوشش شیشه‌ای	۲۰۴	W/m K	$K$	هدایت حرارتی صفحه جاذب
-	-	$\beta$	زاویه کلکتور پیوی‌تی	۰/۰۳	Kg/s	$\dot{m}$	دبی جرمی آب
۰/۹	-	$\epsilon_g$	ضریب نشر پوشش شیشه‌ای	زنگ و همکاران [۹]		مساحت کلکتور پیوی‌تی	
۰/۹	-	$\epsilon_G$	ضریب نشر شیشه فتوولتائیک	۱/۱۲	$m^2$	$A_c$	فاصله بین مراکز دلوله
۰/۶۶	-	$(\alpha\tau)_{eff. one cover}$	ضریب جذب - عبور موثر کلکتور پیوی‌تی یک پوشش	۰/۰۹۵	m	$W$	قطر خارجی لوله

## جدول ۲. اعتبارسنجی راندمان حرارتی لحظه‌ای و دمای آب خروجی با مراجع [۹ و ۱۳]

Table 2. Validation of instantaneous thermal efficiency and outlet water temperature with references [9, 13]

راندمان حرارتی لحظه‌ای (%)			
$\frac{X_{Pre} - X_{Exp}}{X_{Pre}} \times 100$ خطأ (%)	زنگنه و همکاران [9]	مطالعه حاضر	شرح
-۰/۴۹	۵۳/۰	۵۳/۸	کلکتور بی‌وی‌تی بدون پوشش
-۱/۷۵	۵۸/۰	۵۷/۰	کلکتور بی‌وی‌تی دارای پوشش
-۰/۶	۸۳/۰	۸۲/۵	کلکتور حرارتی

دمای آب خروجی (°C)			
$\frac{X_{Pre} - X_{Exp}}{X_{Pre}} \times 100$ خطأ (%)	سوپنیل و اندرو [13]	مطالعه حاضر	شرح
-۰/۰۶	۳۱/۳۰	۳۱/۳۲	کلکتور بی‌وی‌تی بدون پوشش
-۰/۰۶	۳۵/۲۶	۳۵/۲۸	
-۰/۰۷	۴۰/۳۲	۴۰/۳۵	
-۰/۰۹	۴۵/۱۶	۴۵/۲۰	

راندمان حرارتی لحظه‌ای (%)			
$\frac{X_{Pre} - X_{Exp}}{X_{Pre}} \times 100$ خطأ (%)	سوپنیل و اندرو [13]	مطالعه حاضر	شرح
-۰/۸۰	۴۹/۰۳	۴۹/۴۲	کلکتور بی‌وی‌تی بدون پوشش
-۰/۶۸	۴۹/۶۶	۵۰/۰	
-۰/۸۰	۵۰/۱۰	۵۰/۵۰	
-۰/۰۲	۵۰/۱۱	۵۰/۱۲	

تحت کنترل قرار دارند. مخزن مورد استفاده از نوع گالوانیزه و به ظرفیت ۱۵۰ لیتر می‌باشد. به منظور کنترل دمای ورودی و خروجی کلکتور، از سنسورهای دما از نوع پی‌تی ۱۰۰ استفاده شده است که مشاهده دما به صورت دیجیتالی توسط کنترلر آتونیکس صورت می‌گیرد. پمپ مورد استفاده به منظور گردش سیال در سیستم از نوع گرونوفوس ۲۵-۶۰ است که به کمک یک روتامتر با دقت ۱/۶٪ و توسط یک شیر میزان دبی سیال عبوری کنترل می‌گردد. مقدار ولتاژ مدار باز و جریان اتصال کوتاه تولیدی توسط پی‌وی‌تی و پانل فتوولتائیک به وسیله مولتی‌متر مدل ویکتور وی‌سی ۹۷ با دقت ۱٪ ± خوانده می‌شود. نتایج حاصل از این مقایسه در جدول ۴ وارد شده است.

چسبانده شده بود. مشخصات کلکتور بی‌وی‌تی بدون پوشش نوع مارپیچی در جدول ۳ وارد شده است. آزمون تجربی کلکتور بی‌وی‌تی و مدول فتوولتائیک شاهد در محل آزمایشگاه خورشیدی دانشگاه آزاد اسلامی واحد تهران جنوب انجام شد. سیستم به کار گرفته شده در آزمایشگاه یک سیستم مدار باز-اجباری است. تجهیزات هواشناسی شامل پیرانومتر، دماسنجد و بادسنج به منظور اندازه گیری میزان تشعشع، دمای محیط و سرعت باد به کار گرفته شد که همگی ساخت شرکت SolData می‌باشند. دقت دماسنجد برابر  $0/15^{\circ}\text{C} \pm 0^{\circ}$  است. هیترهای برقی که به منظور گرم کردن آب مخزن به کار گرفته می‌شوند، شامل ۲ عدد هیتر ۲ کیلووات و ۱ عدد هیتر ۱ کیلووات می‌باشند و توسط یک کنترلر اس‌اس‌ار

## جدول ۳. مشخصات کلکتور بی‌وی‌تی ساخته شده در آزمایش

Table 3. Parameters of the tested PV/T collector

نماد	واحد	نماد	شرح	نماد	واحد	نماد	شرح
$\alpha_c$	-	ضریب جذب سلول خورشیدی	ضخامت سلول (سیلیکون)	$L_{Si}$	m		
$\alpha_T$	-	ضریب جذب پوسته محافظ	ضخامت شیشه فتوولتائیک	$L_G$	m		
$\eta_c$	-	راندمان سلول خورشیدی (تابیه از دمای سلول)	ضخامت عایق پشتی	$L_i$	m		
$\tau_g$	-	ضریب عبوردهی شیشه فتوولتائیک	ضخامت پوسته محافظ	$L_T$	m		
$W/m^2\text{ K}$	$h_T$	ضریب انتقال حرارت صفحه پشتی پوسته محافظ به سیال	ضخامت چسب بین فتوولتائیک و صفحه جاذب	$L_{glue}$	m		
m	$W$	قابلیت بین مرکز دو لوله	ضخامت روکش شفاف	$L_{EVA}$	m		
-	$N$	تعداد قسمتها	هدایت حرارتی سلول (سیلیکون)	$K_{Si}$	W/m K		
m	$D$	قطر خارجی لوله مسی	هدایت حرارتی شیشه فتوولتائیک	$K_G$	W/m K		
m	$D_i$	قطر داخلی لوله مسی	هدایت حرارتی عایق	$K_i$	W/m K		
m	$\delta$	ضخامت صفحه جاذب	هدایت حرارتی پوسته محافظ	$K_T$	W/m K		
$W/m\text{ K}$	$K$	هدایت حرارتی صفحه جاذب مسی	هدایت حرارتی چسب	$K_{glue}$	W/m K		
$W/m^2\text{ K}$	$h_{fi}$	ضریب انتقال حرارت داخل لوله برای لوله مارپیچی	هدایت حرارتی روکش شفاف	$K_{EVA}$	W/m K		

جدول ۴. ارزیابی تئوری و تجربی توان الکتریکی خروجی، راندمان حرارتی و دمای آب خروجی در کلکتور پیویتی و مدول فتوولتائیک شاهد به منظور اعتبارسنجی معادلات تئوری

Table 4. Theoretical and experimental evaluation of output electric power, thermal efficiency and outlet water temperature; in PV/T collector and PV module for validation of theoretical equations

دانمای آب خروجی								راندمان حرارتی پیویتی			
مدول فتوولتائیک شاهد				کلکتور پیویتی				دانمای آب خروجی			
آزمایش	تئوری	آزمایش	خطا %	آزمایش	تئوری	آزمایش	خطا %	آزمایش	تئوری	آزمایش	خطا %
۲۲/۳۲	۲۲/۹۶	۲/۷۹	۲۷/۰۳	۲۶/۳۱	-۲/۷۳	۵۶/۹۰	۵۶/۶۳	-۰/۴۸	۲۵/۸۰	۲۵/۸۷	-۰/۰۸
۲۲/۸۷	۲۳/۷۰	۳/۵۰	۲۸/۱۵	۲۷/۳۵	-۲/۹۲	۵۶/۱۸	۵۶/۶۱	۰/۷۶	۲۶/۰	۲۶/۰۳	-۰/۱۱
۲۳/۸۶	۲۴/۷۰	۳/۴۸	۲۹/۵۳	۲۸/۷۱	-۲/۸۶	۵۶/۷۵	۵۶/۰۰	-۱/۳۴	۲۶/۵۰	۲۶/۳۸	۰/۴۵
۲۴/۵۶	۲۵/۴۰	۳۲/۳۱	۳۰/۰۳	۲۹/۷۲	-۱/۰۴	۵۵/۶۷	۵۶/۰۵	۰/۶۸	۲۶/۸۰	۲۷/۰	-۰/۷۴
۲۵/۶۴	۲۶/۰	۱/۳۸	۳۱/۱۴	۳۰/۴۲	-۲/۳۷	۵۴/۲۸	۵۵/۰۰	۱/۳۱	۲۷/۲۰	۲۷/۴۲	-۰/۸۱

جدول ۵. پارامترهای طراحی کلکتور فتوولتائیک - حرارتی و کلکتور حرارتی

Table 5. Design parameters of photovoltaic - thermal collector and thermal collector

شرح	نماد	واحد	نماد	شرح	نماد	واحد	نماد	شرح
کلکتور فتوولتائیک - حرارتی				ضریب عبوردهی شیشه فتوولتائیک [۲۱]	$\tau_G$	-		
ضخامت سلول (سیلیکون)				ضریب انتقال حرارت (جابجایی و تشعشع) از شیشه به محیط [۲۱]	$h_o$	$W/m^2 K$	$V_w$	۰/۹۵
ضخامت شیشه فتوولتائیک				ضریب انتقال حرارت جابجایی بین کلکتور پیویتی و محیط [۲۹]	$h_i$	$W/m^2 K$	$V_w$	۵/۷ + ۳/۸
ضخامت عایق پشتی				ضریب انتقال حرارت صفحه پشتی پوشته محافظه به سیال [۳۰]	$h_T$	$W/m^2 K$		۵۰۰
ضخامت پوسته محافظ				سرعت باد	$V_w$	$m/s$		۱/۰
ضخامت چسب بین فتوولتائیک و صفحه جاذب				ضریب دما	$\gamma$	$^{\circ}C^{-1}$		۰/۰۰۴۵
ضخامت روکش شفاف [۲۱]								
هدایت حرارتی سلول (سیلیکون)				طول کلکتور پیویتی	$L$	$m$		۱/۲
هدایت حرارتی شیشه فتوولتائیک				فاصله بین مراکز دو لوله	$W$	$m$		۰/۰۶
هدایت حرارتی عایق				تعداد قسمتها	$N$	-		۹
هدایت حرارتی پوسته محافظ [۲۱]				قطر خارجی لوله مسی	$D$	$m$		۰/۰۱۵
هدایت حرارتی چسب				قطر داخلی لوله مسی	$D_i$	$m$		۰/۰۰۹
هدایت حرارتی روکش شفاف [۳۱]				ضخامت صفحه جاذب	$\delta$	$m$		۰/۰۰۶
ضریب جذب سلول خورشیدی [۲۱]				هدایت حرارتی صفحه جاذب آلومینیومی	$K$	$W/m K$		۲۰۴
ضریب جذب پوسته محافظ [۲۱]				دبی جرمی آب	$\dot{m}$	$Kg/s$		۰/۰۱
فناکتور تراکم سلول خورشیدی				گرمای ویژه آب	$C_f$	$J/Kg K$		۴۱۹۰
راندمان مرتع مدول فتوولتائیک				ضریب انتقال حرارت داخل لوله (لوله موازی [۳۲])	$h_{fi}$	$W/m^2 K$		۳۰۰
راندمان سلول پیویتی				ضریب انتقال حرارت داخل لوله (لوله مارپیچی)	$h_{fi}$	$W/m^2 K$		۱۰۰۰
راندمان سلول فتوولتائیک [۲۱]								

## ۵- نتایج

با توجه به مطالب ذکر شده در این تحقیق، مدول فتوولتائیک و ۸ مدل کلکتور پیویتی نوع ورق و لوله در شرایط یکسان تابش  $812 W/m^2$ ، دمای محیط  $35^{\circ}C$  و آب ورودی  $43^{\circ}C$  به صورت تحلیلی بررسی و نتایج آنها با یکدیگر مقایسه شده است. پارامترهای مرتبط با کلکتور پیویتی و کلکتور حرارتی جهت خنک سازی مدول فتوولتائیک در جدول ۵ آمده است:

جدول ۴ دمای آب خروجی، راندمان الکتریکی و حرارتی را در حل تئوری و تست تجربی برای کلکتور پیویتی و مدول فتوولتائیک به همراه درصد خطانشان می‌دهد. نتایج نشان دهنده انطباق مناسب بین پارامترهای محاسبه شده در کار حاضر و تست تجربی است و نظر به اینکه خطای در هر تست کمتر از ۴٪ به دست آمده بنابراین مدل‌سازی ریاضی به کار رفته درست است.

## جدول ٦. مقایسه راندمان الکتریکی مدول فتوولتائیک و کلکتور پیوی تی

**Table 6. Comparison of the electrical efficiency of photovoltaic modules and PV/T collector**

شرح	نماد	مدول فتوولتاویک	پی‌وی‌تی بدون پوشش	پی‌وی‌تی پوشش دار
تابش خورشیدی	$I(t)$ (W/m <sup>2</sup> )		۸۱۲	۸۱۲
دماي محیط	$T_a$ (°C)		۳۵	۳۵
دماي آب ورودی	$T_{f,in}$ (°C)	-	۴۳	۴۳
دماي صفحه پشتی مدول	$T_{bs}$ (°C)	۷۳/۰	۴۴/۰۲	۴۳/۹۰
دماي سلول خورشیدی	$T_c$ (°C)	۷۶/۳۲	۵۱/۷۰	۵۰/۶۸
راندمان الکتریکی	$\eta_{el}$ (%)	۹/۲۲	۱۰/۰۶	۱۰/۹۱
انرژی الکتریکی خروجی	$\dot{Q}_{uel}$ (W)	۴۸/۵۱	۵۲/۷۹	۵۵/۸۳

کلکتور پی وی تی بدون پوشش در مقایسه با مدول فتوولتائیک مجزا در حدود  $26/5^{\circ}$  کاهش یافته و موجب افزایش راندمان الکتریکی به میزان ۱/۴% و افزایش انرژی الکتریکی خروجی برابر  $W/722$  شده است. این افزایش راندمان می‌تواند با پایین بودن دمای آب ورودی و محیط افزایش بیشتری داشته باشد. با این تفاسیر استفاده از پی وی تی به جای فتوولتائیک مقرن به صرفه است چرا که در عمل از چندین پی وی تی برای مصارف خانگی و صنعتی استفاده می‌شود که به شکل سری یا موازی به یکدیگر متصل شده‌اند. با اضافه کردن یک پوشش به کلکتور پی وی تی دمای سلول خورشیدی در حدود  $40/4^{\circ}$  و انرژی الکتریکی خروجی در حدود  $W/3$  کاهش می‌باشد. در حقیقت اضافه کردن یک پوشش (شیشه) با هدف بهره‌گیری بیشتر از راندمان حرارتی (انرژی حرارتی) می‌باشد که این خود سبب افزایش دمای سلول و افت راندمان الکتریکی می‌شود اما راندمان کل پی وی تی را افزایش می‌دهد یعنی می‌توان در یک تابش خورشیدی یکسان مقدار انرژی بیشتری در واحد سطح کسب کرد.

پارامترهای تاثیرگذار بر خروجی حرارتی و الکتریکی کلکتور پی وی تی شامل میزان تابش خورشیدی، سرعت باد، دمای هوای

لوله مسی به صورت کامل به صفحه آلومینیومی جوش داده شده است و فرض بر این است که  $C_p = 800 \text{ J/kg}^\circ\text{C}$  باشد. در جدول ۵ ضریب انتقال حرارت داخل لوله برای لوله مارپیچی برابر  $K = 1000 \text{ W/m}^\circ\text{C}$  و برای لوله موازی برابر  $K = 300 \text{ W/m}^\circ\text{C}$  قرار داده شده است. دلیل این اختلاف یک‌تکه بودن لوله در طرح مارپیچی و سرعت بالاتر سیال داخل لوله است (دبی جرمی یکسان در طرح موازی و مارپیچی) که خود سبب افزایش عدد رینولدز جریان و در نتیجه بیشتر شدن ضریب انتقال حرارت داخل لوله می‌شود (معادله (۴۹)). از مقادیر جدول ۵ نتایج دمای سلول خورشیدی، دمای آب خروجی، انرژی مفید حرارتی، انرژی مفید الکتریکی، بازده الکتریکی، بازده حرارتی (لحظه‌ای)، بهره انرژی حرارتی، راندمان کل و راندمان حرارتی کل برای مدول فتوولتائیک، کلکتور پیوی تی بدون پوشش و دارای پوشش در دو جدول ۶ و جدول ۷ می‌توان نمایش داد:

با نگاهی به جدول ۶ می‌توان دریافت که دمای صفحه پشتی مدول فتوولتائیک برابر  $C_p = 730^\circ\text{C}$  شده است در حالی که این دما برای کلکتور پیوی تی بدون پوشش برابر  $C_p = 430^\circ\text{C}$  به دست آمده است که در حدود  $C_p = 29^\circ\text{C}$  کمتر است. دمای سلول خورشیدی برای

جدول ۷. مقایسه راندمان حرارتی و دمای آب خروجی برای چهار ساختار ورق و لوله در کلکتور فتوولتائیک - حرارتی در تابش  $812\text{W/m}^2$  ، دمای محیط  $35^\circ\text{C}$  و دمای آب ورودی  $45^\circ\text{C}$

**Table 7. Comparison of Thermal Efficiency and outlet water temperature for the four sheet and tube photovoltaic - thermal collector designs at radiation 812 W/m<sup>2</sup>, ambient temperature 35°C and inlet water temperature 43 °C**

کلکتور بی‌وی‌تی بدون پوشش شیشه‌ای						نماذ			شرح
لوله مارپیچی و مقاطعه گرد	لوله موازی و مقاطعه مستطبی	لوله موازی و مقاطعه گرد	لوله مارپیچی و مقاطعه گرد	لوله موازی و مقاطعه مستطبی	لوله موازی و مقاطعه گرد				
۰/۹۳۱	۰/۹۳۴	۰/۹۳۰	۰/۹۱۸	۰/۸۵۲۵	۰/۸۵۷۲	۰/۸۴۸۸	۰/۸۲۶	$F'$	ضریب کارایی کلکتور
۰/۹۰۷۶	۰/۹۱۰	۰/۹۰۶	۰/۸۹۴۸	۰/۸۰۶	۰/۸۱۰۱	۰/۸۰۲۶	۰/۷۸۲۲	$F_R$	ضریب تغییر گرمایی
۲۹۶/۰	۲۹۶/۷۸	۲۹۵/۴۸	۲۹۱/۸۲	۲۳۲/۱۵	۲۳۳/۳۲	۲۳۱/۱۷	۲۲۵/۱۰	$\dot{Q}_{u.th}$ (W)	انرژی مفید حرارتی (W)
۴۳۴/۹۲	۴۳۵/۷۰	۴۳۴/۴۰	۴۳۰/۷۴	۳۷۹/۰۷	۳۸۰/۲۵	۳۷۸/۰۹	۳۷۷/۲۲	$\dot{Q}_{u.total}$ (W)	بهره انرژی حرارتی کلی (W)
۵۰/۱۶	۵۰/۱۸	۵۰/۱۵	۴۹/۹۶	۴۸/۵۴	۴۸/۵۷	۴۸/۰۲	۴۸/۱۸	$T_{f,out}$ (°C)	دمای آب خروجی (°C)
۵۶/۲۵	۵۶/۴۰	۵۶/۱۰	۵۵/۴۰	۴۴/۱۲	۴۴/۳۴	۴۳/۹۴	۴۲/۱۲	$\eta_i$ (%)	بازده حرارتی لحظه‌ای (%)
۶۶/۸۱	۶۷/۰	۶۶/۶۰	۶۵/۹۰	۵۴/۷۳	۵۴/۹۵	۵۴/۵۴	۵۳/۴۳	$\eta_o$ (%)	راندمان کل (%)
۸۴/۰۴	۸۴/۲۰	۸۳/۹۰	۸۳/۲۰	۷۷/۰۴	۷۷/۲۶	۷۱/۸۶	۷۰/۷۴	$\eta_{o.th}$ (%)	راندمان حرارتی کل (%)

خورشیدی و افزایش دمای سطح مدول فتوولتائیک می‌شود. با توجه به جدول ۷ طرح لوله موازی با مقطع گرد در پی‌وی‌تی بدون پوشش دارای کمترین راندمان و دمای آب خروجی می‌باشد. همچنین طرح لوله موازی با مقطع مستطیلی در پی‌وی‌تی پوشش‌دار دارای بیشترین مقدار راندمان و دمای آب خروجی است در صورتی که مقطع مربعی و مارپیچی گرد بازده پایین‌تری دارد. این اصل در پی‌وی‌تی بدون پوشش هم دیده می‌شود. با توجه به جدول ۶ و جدول ۷، کلکتور پی‌وی‌تی بدون پوشش عملکرد الکتریکی بالاتری دارد اما راندمان کل در نوع پوشش‌دار بالاتر می‌باشد بنابراین به واسطه وجود پوشش می‌توان به راندمان و بهره بالاتری از انرژی دست یافت که این راندمان برای کلکتور پی‌وی‌تی پوشش‌دار نوع مستطیلی برابر ۶۷٪ است. این راندمان کل در مقایسه با راندمان الکتریکی منفرد مدول فتوولتائیک به میزان ۵۷/۸٪ افزایش داشته است. ساخت دستگاه کلکتور پی‌وی‌تی خود می‌تواند مشکلاتی داشته باشد. انتخاب مناسب چسب، اتصال کامل لوله به صفحه جاذب و عدم تاب صفحه جاذب هنگام جوش، اتصال صحیح لوله‌ها، انتخاب جنس قاب کلکتور پی‌وی‌تی و آبندی صحیح آن و .... در کل به دلیل راندمان بالا و راحتی ساخت، استفاده از طرح لوله مارپیچ در ساخت کلکتور پی‌وی‌تی نوع ورق و لوله در اولویت می‌باشد.

## ۶- نتیجه گیری

در این مطالعه ابتدا مدول فتوولتائیک فتوولتائیک و ۸ مدل کلکتور ترکیبی فتوولتائیک - حرارتی پی‌وی‌تی با استفاده از قانون اول ترمودینامیک مدل‌سازی شدند. سپس به منظور صحت سنجی، این روابط تئوری با دو مرجع معتبر مقایسه شدند. در ادامه از مدول فتوولتائیک شاهد و کلکتور پی‌وی‌تی بدون پوشش نوع مارپیچی در آزمایشگاه انرژی خورشیدی دانشگاه آزاد واحد تهران جنوب تست تجربی به عمل آمد و نتایج آن با حل تحلیلی حاصل از روابط بیان شده در این تحقیق مقایسه شد. همچنین برای به دست آوردن بهترین مدل از نظر عملکرد حرارتی، الکتریکی و کل این ۸ مدل کلکتور ترکیبی فتوولتائیک - حرارتی در شرایط تابش  $812 \text{ W/m}^2$ ، دمای محیط  $35^\circ \text{C}$ ، دمای آب ورودی  $43^\circ \text{C}$  و سرعت باد  $1 \text{ m/s}$  به کمک نرم‌افزار متلب مقایسه شدند. و نتایج آن در جدول ۶ و جدول ۷ ذکر گردید. بهطور خلاصه با مطالعه مطالب و روابط بیان شده در بخش‌های ۱ تا

محیط، دمای سیال خنک‌کننده ورودی، دبی جرمی سیال خنک‌کننده، ضخامت و جنس عایق پشتی، ضخامت روکش شفاف، ضخامت و نوع سیلیکون، ضخامت پوسته محافظ، ضخامت شیشه و فاصله بین مدول فتوولتائیک و شیشه می‌باشد. در حالی که افزایش سرعت باد و دمای سیال ورودی موجب کاهش بازده حرارتی سیستم می‌شود. برای افزایش بازده حرارتی کلکتور فتوولتائیک - حرارتی باید میزان تابش خورشیدی جذب شده توسط مدول فتوولتائیک، دمای محیط و دبی سیال خنک‌کننده زیاد شود. انتخاب صحیح جنس و افزایش ضخامت عایق پشتی سبب کاهش انتقال حرارت از زیر کلکتور پی‌وی‌تی به محیط می‌شود و راندمان حرارتی را بالا می‌برد. ضریب کارایی کلکتور F' پارامتری است که به ساخت مناسب کلکتور مربوط می‌باشد و از ضریب انتقال حرارتی کل، ضریب انتقال حرارت داخل لوله، ضریب انتقال حرارت جوش و اتصال مناسب لوله به صفحه جاذب و صفحه جاذب به پشت مدول فتوولتائیک تاثیر می‌پذیرد. بنابراین با انتخاب موادی که دارای رسانندگی حرارتی بالایی هستند و همچنین ساخت مناسب کلکتور پی‌وی‌تی یه طوری که هیچ‌گونه هوایی بین صفحه جاذب و مدول نفوذ نکند می‌توان مقدار F' را افزایش داد. ضریب تفکیک گرمایی F نیز پارامتری است که به مساحت کلکتور، ضریب کارایی کلکتور، دبی جرمی جریان و ظرفیت حرارتی سیال داخل لوله مربوط می‌شود. در واقع این ضریب مقدار راندمان حرارتی داده شده به سیال را نشان می‌دهد. در جدول ۷ ضریب کارایی کلکتور F' و ضریب تفکیک گرمایی F برای کلکتورهای پی‌وی‌تی دارای پوشش بیشتر از نوع بدون پوشش به دست آمده است که علت آن می‌تواند به بالاتر رفتن استحصال حرارت در کلکتورهای دارای پوشش در مقایسه با نوع بدون پوشش مربوط شود. همچنین برای کلکتورهای با مقطع مستطیل مقدار ضریب کارایی کلکتور و ضریب تفکیک گرمایی نسبت به سه مدل دیگر بیشتر می‌باشد. از طرفی این دو ضریب برای طرح مارپیچی با مقطع دایره در دو مدل دارای پوشش و فاقد پوشش بیشتر از مقدار دایره‌ای و مربعی به دست آمده‌اند. همین قانون برای انرژی مفید حرارتی، بهره انرژی حرارتی کلی، دمای آب خروجی، بازده حرارتی لحظه‌ای، راندمان کل و راندمان حرارتی کل صادق است. بهره انرژی حرارتی کل و دمای آب خروجی در کلکتور کلکتور پی‌وی‌تی بدون پوشش در مقایسه با کلکتور کلکتور پی‌وی‌تی یک پوشش کمتر می‌باشد زیرا وجود پوشش سبب جذب بهتر تابش

عدد رینولدز	$Re$	۳ می‌توان به نتایج زیر دست یافت: ۱- اضافه کردن پوشش شیشه‌ای
انرژی خورشیدی جذب شده ( $W/m^2$ )	$S$	در کلکتور پیویتی موجب افزایش راندمان حرارتی می‌گردد در
(دما) (K)	$T$	حالی که در کلکتور بیویتی بدون پوشش به دلیل خنکسازی بهتر
ضریب افت حرارت کلی ( $W/m^2 K$ )	$U$	مدول فتوولتائیک، راندمان الکتریکی در مقایسه با مدول فتوولتائیک
سرعت جریان هوا ( $m/s$ )	$V$	ساده و کلکتور بیویتی دارای پوشش بیشتر می‌باشد. ۲- با افزایش
فاصله بین مراکز دو لوله (m)	$W$	دمای آب ورودی بازده حرارتی و الکتریکی پیویتی کاهش می‌یابد
المان دیفرانسیلی در جهت طولی (m)	$x$	بنابراین برای رسیدن به حداکثر راندمان خروجی می‌بایست دمای
ضریب جذب	$\alpha$	آب ورودی به دمای هوای محیط نزدیک باشد. ۳- طراحی، ساخت و
فاکتور تراکم مدول خورشیدی / زاویه کلکتور	$\beta$	انتخاب مناسب مواد موجب افزایش ضریب کارایی و ضریب تغییک
ضریب نشر	$\epsilon$	گرمایی کلکتور پیویتی می‌شود ۴- با افزایش ضخامت عایق پشتی
لرجت دینامیکی ( $kg.m^{-1}s^{-1}$ )	$\mu$	اتلاف حرارتی از زیر کلکتور پیویتی کاهش یافته و راندمان حرارتی
راندمان (m)	$\eta$	افزایش می‌یابد. ۵- کلکتور پیویتی موازی با مقطع مستطیلی در
ضخامت صفحه (m)	$\delta$	حالت پوشش دار دارای حداکثر مقدار انرژی مفید حرارتی، بهره انرژی
ضریب عبوردهی	$\tau$	حرارتی کلی، دمای آب خروجی، بازده حرارتی لحظه‌ای، راندمان کل
لرجت سینماتیکی ( $m^2/s$ )	$\nu$	و راندمان حرارتی کل است در مقابل طرح لوله موازی و مقطع گرد
ضریب دما ( $^{\circ}C^{-1}$ )	$\gamma$	در حالت فاقد پوشش، حداقل مقادیر خروجی را دارد. ۶- ایده ورق
زیرنویس ها		
محیط	$a$	و لوله با مقطع مستطیلی به دلیل داشتن راندمان بالا می‌تواند طرح
هوای	$air$	ایده‌آلی جهت ساخت پیویتی باشد اما به لحاظ هزینه و مشکلات
اتصال	$b$	ساخت در آن و داشتن اختلاف بازده کمتر از ۲% با نوع مارپیچی
پشت مدول (صفحه پشتی پوسته محافظ)	$bs$	پیشنهاد می‌شود از طرح لوله مارپیچ با مقطع گرد در ساخت پیویتی
جباجایی - سلول / مدول	$c$	استفاده شود.
موثر	$eff$	
الکتریکی	$el$	
آزمون تجربی	$Exp$	
جریان سیال	$f$	
سیال داخل لوله	$fi$	
شیشه مدول فتوولتائیک	$G$	
پوشش شیشه‌ای	$g$	
هیدرولیکی	$h$	
از پایین / داخل لوله	$i$	
ورودی	$in$	
کل کلکتور	$L$	
مقدار متوسط	$m$	
حداکثر	$max$	
مرجع / از بالا / خارجی لوله	$o$	
یک پوشش	$one\ cov$	
خروچی	$out$	
حذف حرارت / مدول	$p$	
مطالعه حاضر	$pre$	
فتوولتائیک - حرارتی	$pv/t$	
تابش	$r$	
سیلیکون	$si$	
پوسته محافظ	$T$	
بالا	$t$	
حرارتی	$th$	
مفید	$u$	
باد / سیال آب	$w$	
مساحت (m)		
طول مقطع لوله (m)	$A$	
عرض کلکتور پیویتی (m) / عرض مقطع لوله (m)	$a$	
گرمایی ویژه سیال (J/Kg K)	$b$	
قطر لوله (m)	$C$	
گرانش زمین ( $m/s^2$ )	$D$	
ضریب انتقال حرارت ( $W/m^2 K$ )	$g$	
تابش خورشیدی برخوردی کل ( $W/m^2$ )	$h$	
هدایت حرارتی (W/m K)	$I$	
هدایت حرارتی سیال (W/m K)	$K$	
ضخامت / طول کلکتور پیویتی (m)	$L$	
نرخ جریان سیال (Kg/s)	$\dot{m}$	
تعداد قسمتها	$N.n$	
عدد ناسلت	$Nu$	
عدد پرانتل	$Pr$	
نرخ انتقال حرارت (W)	$Q$	
عدد رایلی	$Ra$	

## ۷- فهرست علائم

## ـ منابع

- [12] F. Sarhaddi, S. Farahat, H. Ajam, A. Behzadmehr, M.M. Adeli, An improved thermal and electrical model for a solar photovoltaic thermal (PV/T) air collector, *Applied Energy*, 87(7) (2010) 2328-2339.
- [13] S. Dubey, A.A. Tay, Testing of two different types of photovoltaic-thermal (PVT) modules with heat flow pattern under tropical climatic conditions, *Energy for Sustainable Development*, 17(1) (2013) 1-12.
- [14] O. Rejeb, H. Dhaou, A. Jemni, A numerical investigation of a photovoltaic thermal (PV/T) collector, *Renewable Energy*, 77 (2015) 43-50.
- [15] J. Allan, Z. Dehouche, S. Stankovic, L. Mauricette, Performance testing of thermal and photovoltaic thermal solar collectors, *Energy Science & Engineering*, 3(4) (2015) 310-326.
- [16] I. Singh, D. Singh, M. Singh, Thermal Modeling and Performance Evaluation of Photovoltaic Thermal (PV/T) Systems: A Parametric Study, *International Journal of Green Energy*, 16(6) (2019) 483-489.
- [17] H.A. Kazem, Evaluation and analysis of water-based photovoltaic/thermal (PV/T) system, *Case Studies in Thermal Engineering*, 13 (2019) 100401.
- [18] A. Tiwari, M. Sodha, Parametric study of various configurations of hybrid PV/thermal air collector: experimental validation of theoretical model, *Solar Energy Materials and Solar Cells*, 91(1) (2007) 17-28.
- [19] B. Agrawal, G.N. Tiwari, Building integrated photovoltaic thermal systems: for sustainable developments, Royal Society of Chemistry, 2010.
- [20] S.A. Behmoonesi, F. Jafarkazemi, Computational and Experimental Evaluation of Thermal and Electrical Performance of PV Module and Solar PV/T Water Collector, *Modares Mechanical Engineering*, 20(6) (2020) 1661-1676.
- [21] A. Tiwari, M. Sodha, Performance evaluation of hybrid PV/thermal water/air heating system: a parametric study, *Renewable energy*, 31(15) (2006) 2460-2474.
- [1] J.-H. Kim, J.-T. Kim, The experimental performance of an unglazed PVT collector with two different absorber types, *International Journal of Photoenergy*, 2012 (2012).
- [2] Y. Tripanagnostopoulos, T. Nousia, M. Souliotis, P. Yianoulis, Hybrid photovoltaic/thermal solar systems, *Solar energy*, 72(3) (2002) 217-234.
- [3] B. Huang, T. Lin, W. Hung, F. Sun, Performance evaluation of solar photovoltaic/thermal systems, *Solar energy*, 70(5) (2001) 443-448.
- [4] L. Florschuetz, Extension of the Hottel-Whillier model to the analysis of combined photovoltaic/thermal flat plate collectors, *Solar energy*, 22(4) (1979) 361-366.
- [5] H. Hottel, A. Whillier, Evaluation of flat-plate solar collector performance, in: *Trans. Conf. Use of Solar Energy*;(), 1955.
- [6] T. Bergene, O.M. Løvvik, Model calculations on a flat-plate solar heat collector with integrated solar cells, *Solar energy*, 55(6) (1995) 453-462.
- [7] J.A. Duffie, W. Beckman, *Solar Engineering of Thermal Processes*. Fourth, in, Published by John Wiley & Sons, Inc., Hoboken, New Jersey.
- [8] H.A. Zondag, D.d. de Vries, W. Van Helden, R.C. van Zolingen, A. Van Steenhoven, The thermal and electrical yield of a PV-thermal collector, *Solar energy*, 72(2) (2002) 113-128.
- [9] H. Zondag, D. De Vries, W. Van Helden, R. Van Zolingen, A. Van Steenhoven, The yield of different combined PV-thermal collector designs, *Solar energy*, 74(3) (2003) 253-269.
- [10] A. Tiwari, M. Sodha, Performance evaluation of solar PV/T system: an experimental validation, *Solar energy*, 80(7) (2006) 751-759.
- [11] T.T. Chow, W. He, A. Chan, K. Fong, Z. Lin, J. Ji, Computer modeling and experimental validation of a building-integrated photovoltaic and water heating system, *Applied Thermal Engineering*, 28(11-12) (2008) 1356-1364.

- a serpentine absorber plate, Proc. Annu. Meet.- Am. Sect. Int. Sol. Energy Soc.;(United States), 6(CONF-830622-) (1983).
- [28] S. Dubey, G. Tiwari, Analysis of PV/T flat plate water collectors connected in series, Solar Energy, 83(9) (2009) 1485-1498.
- [29] F. Sarhaddi, S. Farahat, H. Ajam, A. Behzadmehr, Exergetic performance assessment of a solar photovoltaic thermal (PV/T) air collector, Energy and Buildings, 42(11) (2010) 2184-2199.
- [30] M. Rosli, K. Sopian, S.B. Mat, M.Y. Sulaiman, E. Salleh, Heat Removal Factor of an Unglazed Photovoltaic Thermal Collector with a Serpentine Tube, in: Renewable Energy in the Service of Mankind Vol II, Springer, 2016, pp. 583-590.
- [31] S. Armstrong, W. Hurley, A thermal model for photovoltaic panels under varying atmospheric conditions, Applied Thermal Engineering, 30(11-12) (2010) 1488-1495.
- [32] G. Vokas, N. Christandonis, F. Skittides, Hybrid photovoltaic-thermal systems for domestic heating and cooling—a theoretical approach, Solar energy, 80(5) (2006) 607-615.
- [22] G.N. Tiwari, S. Dubey, Fundamentals of photovoltaic modules and their applications, Royal Society of Chemistry, 2009.
- [23] F. Sobhnamayan, F. Sarhaddi, M. Alavi, S. Farahat, J. Yazdanpanahi, Optimization of a solar photovoltaic thermal (PV/T) water collector based on exergy concept, Renewable Energy, 68 (2014) 356-365.
- [24] L. Sun, M. Li, Y. Yuan, X. Cao, B. Lei, N. Yu, Effect of tilt angle and connection mode of PVT modules on the energy efficiency of a hot water system for high-rise residential buildings, Renewable Energy, 93 (2016) 291-301.
- [25] A. Fudholi, K. Sopian, M.H. Yazdi, M.H. Ruslan, A. Ibrahim, H.A. Kazem, Performance analysis of photovoltaic thermal (PVT) water collectors, Energy conversion and management, 78 (2014) 641-651.
- [26] P. Charalambous, S. Kalogirou, G. Maidment, K. Yiakoumetti, Optimization of the photovoltaic thermal (PV/T) collector absorber, Solar Energy, 85(5) (2011) 871-880.
- [27] M. Zhang, Z. Lavan, Thermal performance of

برای ارجاع به این مقاله از عبارت زیر استفاده کنید:

S. A. Behmoonesi, F. Jafarkazemi, Theoretical Comparison of Thermal and Electrical Performance of Different Models of Sheet and Tube Type Solar Photovoltaic - Thermal Water Collector, Amirkabir J. Mech. Eng., 53(5) (2021) 2903-2920.

DOI: [10.22060/mej.2020.17344.6578](https://doi.org/10.22060/mej.2020.17344.6578)

